

کنترل تطبیقی سیستم آشوبی همسان لرنز-لو-چن

فریبرز حقیقت دار فشارکی^۱، محمد عطایی^۲

فارغ التحصیل کارشناسی ارشد برق- قدرت دانشگاه اصفهان^۱، استادیار گروه الکترونیک دانشگاه اصفهان^۲

mataei1971@yahoo.com ، 'fr_haghighat@yahoo.com'

چکیده: در این مقاله یک کنترلر تطبیقی برای کنترل سیستم آشوبی همسان لرنز-لو-چن ارائه می‌گردد. به این منظور، ترکیبی از فیدبکهای خطی با بهره‌های ثابت و تطبیقی و فیدبک غیرخطی تطبیقی مورد استفاده قرار می‌گیرد. در این راستا، انتخاب فیدبک حالت غیرخطی با استفاده از روش مستقیم لیاپانف صورت می‌گیرد و پایداری مجانبی سیستم نامعین همسان لرنز-لو-چن در یک نقطه تصادفی از چنبره عمومی نقاط تعادل آن، در قالب یک لم تضمین می‌گردد. در ادامه، با افزودن سیگنالهای فیدبک خطی به سیستم کنترل شده در مرحله نخست، پایداری مجانبی سیستم کنترل شده نهایی در هر نقطه دلخواه از چنبره مذکور، حاصل می‌گردد. اثبات این مطلب نیز با استفاده از روش غیرمستقیم لیاپانف صورت می‌گیرد. در پایان برای نشان دادن عملکرد مناسب کنترلر پیشنهادی در پایدارسازی سیستم آشوبی همسان لرنز-لو-چن، نتایج شبیه سازی اعمال این کنترلر به سیستم، در شرایط مختلف، حتی در شرایطی که نوع سیستم و نقطه تعادل مطلوب بطور توأم تغییر می‌کند، ارائه می‌گردد.

واژه‌های کلیدی: کنترل تطبیقی، سیستم آشوبی همسان لرنز-لو-چن، تئوری پایداری لیاپانف

Abstract: In this paper an adaptive controller for the Unified chaotic system is presented. For this purpose, a combination of linear feedbacks with constant and adaptive gains and a non-linear adaptive state feedback is used. In this way, the Lyapunov's direct method is used to select the suitable non-linear state feedback. Moreover, the asymptotic stability guarantee of the uncertain Unified chaotic system in a stochastic point on the general manifold of its equilibrium points is proved in a lemma by using non-linear feedback controller. Then, the asymptotic stability of the final controlled system in any desired point on the mentioned manifold is guaranteed by adding the linear feedback signals to the prior controlled system. This subject is proved, by using the Lyapunov's indirect method. Finally, the simulation results related to applying the controller to the Unified chaotic system, in different cases, even when simultaneous-changing of the system type and the desired equilibrium point occurs are provided to show the well-acceptable performance of the proposed controller.

Keywords: Adaptive Control, Unified Chaotic System, Lyapunov's Stability Theory.

۱. مقدمه

الکترونیک قدرت [۳]، مهندسی پزشکی [۴]، سیستمهای بیولوژیکی [۵] و واکنشهای شیمیایی [۶] بکار رود. بنابراین لزوم کنترل آشوب کاملاً مشخص گردیده و بر این اساس، پس از ارائه روش OGY توسط ات^۱ و گریوگی^۲ و یورک^۳ در زمینه کنترل سیستمهای آشوبی [۷]، کنترل آشوب در دو دهه اخیر، بطور گسترده مورد توجه محققین قرار گرفته است. یکی از سیستمهای آشوبی که به سبب قابلیت مناسب آن در نمایش ویژگیهای رفتار آشوبگونه

پدیده آشوب و بررسی وقوع آن در شاخه های مختلف علوم در چند دهه اخیر بطور گسترده مورد مطالعه قرار گرفته است. امروزه در برخی از موارد مانند تحریک مد آشوبی در عملکرد کاتالیزگرهای شیمیایی [۱] و مدولاسیون آشوبی در مخابرات امن [۲]، این پدیده می‌تواند مفید واقع شود. ولی در اغلب موارد، مطالعه آشوب می‌تواند بعنوان ابزاری جهت تحلیل رفتار غیرخطی ظاهر شده در بسیاری از سیستمها در شاخه‌های مختلفی از علوم مانند

¹ Ott

² Grebogi

³ Yorke

رباینده‌های آشوبی مشابه اما با توپولوژی متفاوت نسبت به سیستم لرز بودند. نهایتاً، لو و دستیارانش در سال ۲۰۰۲ با در نظر گرفتن قیودی بر ضرایب بخش خطی معادلات حالت سه سیستم فوق الذکر، موفق شدند فرم واحدی را برای معادلات این سه سیستم پیشنهاد دهند [۲۰]. سیستم آشوبی ترکیب شده، تحت عنوان سیستم همسان لرز-لو-چن و با رابطه زیر معرفی می‌شود.

$$\begin{cases} \dot{x} = (25\alpha + 10)(y - x) \\ \dot{y} = (28 - 35\alpha)x - xz + (29\alpha - 1)y \\ \dot{z} = xy - \frac{\alpha + 8}{3}z \end{cases} \quad (1)$$

سیستم آشوبی فوق، به ازای $\alpha \in [0, 1]$ دارای رفتار آشوبی است. این سیستم وقتی $\alpha \in [0, 0.8)$ باشد، سیستم عمومی لرز نامیده می‌شود. وقتی $\alpha = 0.8$ باشد، تبدیل به سیستم عمومی لو می‌گردد و وقتی $\alpha \in (0.8, 1]$ باشد سیستم عمومی چن، خوانده می‌شود.

با تعریف پارامترهای جدید a , b , c و d ، مطابق با روابط زیر:

$$\begin{cases} a = 25\alpha + 10 \\ b = 28 - 35\alpha \\ c = 29\alpha - 1 \\ d = \frac{\alpha + 8}{3} \end{cases} \quad (2)$$

می‌توان معادلات حالت سیستم آشوبی همسان لرز-لو-چن را بصورت معادلات (۳) بازنویسی نمود.

$$\begin{cases} \dot{x} = a(y - x) \\ \dot{y} = bx - xz + cy \\ \dot{z} = xy - dz \end{cases} \quad (3)$$

در بسیاری از سیستمهایی که رفتار دینامیکی آنها با استفاده از معادلات سیستم همسان لرز-لو-چن توصیف می‌شود، پارامتر b ظاهر شده در روابط (۲) و (۳) بعنوان یک پارامتر قابل کنترل مطرح است. بعنوان مثال، رفتار آشوبی سیالات بهنگام وقوع پدیده همرفت گرمایی، با معادلات لرز توصیف می‌شود [۱۵ و ۱۶]. در این مورد پارامتر b ذکر شده در بالا، که متناظر با عدد رایلی^۴ در فرم سنتی سیستم لرز می‌باشد، متناسب با حرارت اعمال شده به نیمه تحتانی سیال خواهد بود. از اینرو در طراحی کنترلگر پیشنهادی، یکی از سیگنالهای کنترلی به پارامتر b افزوده می‌شود. مطابق با اغلب روشهایی که تا کنون برای کنترل سیستم همسان لرز-لو-چن، پیشنهاد شده است، قانون کنترل می‌تواند با مشتق حالت‌های سیستم جمع شود. در این مقاله، سیگنال کنترل دوم که یک سیگنال فیدبک خطی با بهره ثابت است، با مشتق متغیر حالت X سیستم جمع می‌شود.

در چند سال اخیر مورد مطالعه و تحقیق فراوان قرار گرفته، سیستم آشوبی همسان لرز-لو-چن است [۸-۱۴]. مطالعات اخیر نشان می‌دهد که تغییر شکل ظاهری پارامترهای سیستم مذکور، موجب بروز ویژگیهای خاصی از رفتارهای آشوبگونه در این سیستم می‌گردد [۸-۱۰]. بنابراین پرداختن به مبحث کنترل این سیستم با وجود نامعینی یا تغییرات در پارامترهای آن موضوع مفید و جذابی است.

در بسیاری از مقالات منتشر شده در زمینه کنترل آشوب، معلوم بودن مقدار دقیق پارامترهای مدل سیستم، یک فرض اساسی برای استخراج موفقیت آمیز کنترلگر می‌باشد [۸، ۱۵ و ۱۶]. اما در شرایط واقعی تمام یا برخی از پارامترهای مدل سیستم، ناشناخته و یا غیر قطعی هستند و علاوه بر آن می‌توانند به آهستگی و یا بطور ناگهانی تغییر کنند. بنابراین استخراج یک کنترلگر تطبیقی برای کنترل سیستمهای آشوبی با وجود پارامترهای ناشناخته یا غیر قطعی بسیار حائز اهمیت بوده و تاکنون مورد توجه برخی از محققین قرار گرفته است [۱۱-۱۴].

آنچه که در این مقاله مدنظر می‌باشد، ارائه یک کنترلگر تطبیقی برای پایدارسازی مجانبی سیستم آشوبی همسان لرز-لو-چن در هر نقطه دلخواه از یک چنبره خاص در فضای متغیرهای حالت سیستم است. این چنبره را از این بعد چنبره عمومی نقاط تعادل سیستم می‌نامیم. کنترل سیستم موردنظر با استفاده از ترکیب فیدبک غیرخطی تطبیقی و سیگنالهای فیدبک خطی با بهره‌های ثابت و تطبیقی صورت می‌پذیرد. بطوریکه کنترلگر پیشنهادی دارای عملکرد مقاوم و تطبیق پذیر نسبت به نامعینی و تغییر در پارامترهای سیستم است.

در ادامه، مدل سیستم تحت مطالعه و نحوه انتخاب ورودیهای کنترلی سیستم، در بخش دوم معرفی می‌شود. در بخش سوم، هدف از طراحی کنترلگر شرح داده می‌شود. در بخش چهارم مراحل طراحی کنترلگر پیشنهادی مطرح و مباحث مربوط به تضمین پایداری سیستم کنترل شده، در قالب دو لم به همراه اثبات آنها، ارائه می‌گردد. در بخش پنجم، نتایج شبیه سازی مربوط به انجام چند آزمایش مختلف بر روی سیستم تحت مطالعه ارائه می‌شود و جمع بندی و نتیجه گیری در بخش ششم صورت می‌گیرد.

۲. مدل سیستم تحت مطالعه و انتخاب ورودیهای کنترلی

در سال ۱۹۶۳، لرز^۱ اولین رباینده آشوبی کلاسیک را کشف نمود [۱۷]. سالها پس از آن، سیستم چن^۲ در سال ۱۹۹۹ توسط چن و ویتا [۱۸] و سیستم لو^۳ در سال ۲۰۰۲ توسط لو و چن [۱۹] معرفی گردید که هر دو دارای

¹ Lorenz

² Chen

³ Lü

⁴ Rayleigh

۳. هدف از طراحی کنترلگر

پس از معرفی سیستم تحت مطالعه، در این قسمت هدف از طراحی کنترلگر بیان می‌گردد. در این راستا، جهت تعیین نقاط تعادل سیستم، کافیس مشتق زمانی متغیرهای حالت سیستم برابر با صفر قرار داده شود که در اینصورت با توجه به معادلات اول و سوم از رابطه (۳) به تساویهای زیر می‌رسیم.

$$x = y, \quad z = \frac{x^2}{d} \quad (4)$$

دو تساوی در رابطه (۴) چنبره عمومی نقاط تعادل سیستم همسان لرزش- لو- چن را در فضای \mathbb{R}^3 توصیف می‌کنند. در صورت مشخص بودن مقادیر دقیق پارامترهای سیستم، با استفاده از معادله دوم در رابطه (۳) مکان دقیق سه نقطه تعادل ناپایدار سیستم همسان لرزش- لو- چن، واقع بر این چنبره بصورت زیر مشخص می‌گردد.

$$\begin{cases} E_1 = (0, 0, 0) \\ E_2 = (\sqrt{d(b+c)}, \sqrt{d(b+c)}, (b+c)) \\ E_3 = (-\sqrt{d(b+c)}, -\sqrt{d(b+c)}, (b+c)) \end{cases} \quad (5)$$

در این مقاله، هدف از کنترل تطبیقی سیستم همسان لرزش- لو- چن، آن است که سیستم کنترل شده در هر نقطه دلخواهی از چنبره داده شده با رابطه (۴)، مانند نقطه $\left(x = X, y = X, z = \frac{X^2}{d}\right)$ ، به ازای هر مقدار دلخواه X ، بطور مجانبی پایدار گردد.

۴. طراحی کنترلگر تطبیقی

با توجه به توضیحاتی که در بخش دوم در خصوص انتخاب ورودیهای کنترلی سیستم همسان لرزش- لو- چن داده شد، معادلات حالت سیستم کنترل شده مذکور را می‌توان بصورت زیر بازنویسی نمود.

$$\begin{cases} \dot{x} = a(y-x) + u_1 \\ \dot{y} = (b+u_2)x - xz + cy \\ \dot{z} = xy - dz \end{cases} \quad (6)$$

در ادامه، سیگنالهای کنترلی را بگونه ای طراحی می‌کنیم که اولاً: هر نقطه دلخواه با فرم عمومی $\left(x = X, y = X, z = \frac{X^2}{d}\right)$ ، یک نقطه تعادل برای سیستم حلقه بسته داده شده با رابطه (۶) محسوب شود و ثانیاً: شرط تضمین پایداری مجانبی سیستم کنترل شده در نقطه تعادل مذکور برآورده گردد. به این منظور در مرحله اول، با انتخاب یک سیگنال فیدبک غیرخطی تطبیقی، شرایطی فراهم می‌شود که ضمن حذف بخش غیرخطی در معادله

حالت دوم سیستم کنترل شده، سیستم حاصل در یک نقطه تصادفی و نه دلخواه، اما دارای فرم عمومی ذکر شده در بالا، پایدار مجانبی گردد. در مرحله دوم، با افزودن سیگنالهای فیدبک خطی مناسب به سیستم کنترل شده مرحله نخست، هدف نهایی از کنترل سیستم همسان لرزش- لو- چن که در بخش سوم شرح داده شد، محقق می‌شود. در ادامه، جزئیات طراحی کنترلگر در دو گام و در قالب دو لم به همراه اثبات آن ارائه می‌گردد.

لم ۱: سیستم کنترل شده همسان لرزش- لو- چن، که معادلات حالت آن در رابطه (۶) داده شده است را در نظر می‌گیریم. این سیستم با انتخاب سیگنالهای کنترل u_1 و u_2 بصورت،

$$\begin{cases} u_1 = 0 \\ u_2 = z + g \end{cases} \quad (7)$$

که در آن پارامتر g مطابق با رابطه،

$$\dot{g} = x^2 - xy \quad (8)$$

به روز می‌شود، در یک نقطه تصادفی واقع بر چنبره عمومی نقاط تعادل سیستم، داده شده با رابطه (۴) بطور مجانبی پایدار می‌گردد.

اثبات: در قانون کنترل داده شده با رابطه (۷)، جمله اول در سیگنال کنترلی u_2 وظیفه حذف بخش غیرخطی معادله حالت دوم سیستم کنترل شده را برعهده دارد. و اگر پارامتر کنترلی g ، مقدار نامی $g_1 = -(b+c)$ را اختیار کند، امکان همسان سازی حالتی تعادلی اول و دوم سیستم کنترل شده فراهم می‌گردد. ولیکن بدلیل نامعین بودن پارامترهای سیستم، در اینجا مقدار دقیق g_1 نامعلوم است. اکنون با استفاده از متغیرهای سیستم کنترل شده، یعنی کمیت‌های (x, y, z, g) ، متغیرهای کمکی w و \tilde{g} را بترتیب با روابط (۹) و (۱۰) تعریف می‌کنیم.

$$w = y - x \quad (9)$$

$$\tilde{g} = g_1 - g \quad (10)$$

سپس سیستم با معادلات حالت زیر را در نظر می‌گیریم.

$$\begin{cases} \dot{w} = f(x, y, z, g) \\ \dot{\tilde{g}} = \dot{g} = h(x, y, z, g) \end{cases} \quad (11)$$

و برای سیستم توصیف شده با رابطه (۱۱) کاندیدای تابع لیاپانف زیر را انتخاب می‌نماییم.

$$V(w, \tilde{g}) = \frac{1}{2} [w^2 + \tilde{g}^2] \quad (12)$$

مشتق زمانی تابع V با در نظر گرفتن روابط (۶) تا (۱۲) بصورت زیر خواهد بود.

$$\dot{V}(w, \tilde{g}) = (c-a)w^2 \quad (13)$$

اثبات: در این مرحله از اثبات می توان فرض نمود که بهره های k_1 و k_2 مربوط به ترمهای فیدبک خطی در رابطه (۱۵) مقادیر ثابتی هستند. سپس محدوده های قابل قبول برای بهره های مذکور را با استفاده از روش غیرمستقیم لیاپانف تعیین می کنیم. به این منظور باید سیستم کنترل شده حول نقطه تعادل خود در فضای \mathbb{R}^4 یعنی نقطه $\hat{E} = \left(x = X, y = X, z = \frac{X^2}{d}, g = -(b+c) \right)$ خطی شود. در این صورت، ماتریس ژاکوبین و معادله مشخصه سیستم خطی شده حول نقطه تعادل \hat{E} بترتیب مطابق با روابط (۱۷) و (۱۸) خواهد بود.

$$J = \begin{bmatrix} -a-k_1 & a & 0 & 0 \\ -c & c-k_2X & 0 & X \\ X & X & -d & 0 \\ X & -X & 0 & 0 \end{bmatrix} \quad (17)$$

$$(\lambda + d) \{ \lambda^3 + (a + k_1 - c + k_2X) \lambda^2 + [(a + k_1)(-c + k_2X) + ac + X^2] \lambda + k_1X^2 \} = 0 \quad (18)$$

و بنا بر معیار روٹ-هرویتز، شرط پایداری سیستم کنترل شده در نقطه تعادل موردنظر در صورت برآورده شدن قیود داده شده در رابطه (۱۹) تضمین خواهد شد.

$$\begin{cases} k_1 > 0 \\ k_2X > c - a - k_1 = Q_1 \\ k_2X > \frac{(k_1X^2)}{(a+k_1-c+k_2X)} - ac - X^2 + c = Q_2 \end{cases} \quad (19)$$

بنابراین با توجه به نامساویهای بدست آمده در رابطه (۱۹)، برای تضمین پایداری سیستم در نقطه تعادل موردنظر، کفایت، بهره k_1 برابر با یک مقدار مثبت دلخواه در نظر گرفته شود و در صورت مثبت (منفی) بودن مقدار X ، بهره k_2 از $\max \left\{ \frac{Q_1}{X}, \frac{Q_2}{X} \right\}$ بزرگتر (از $\min \left\{ \frac{Q_1}{X}, \frac{Q_2}{X} \right\}$ کوچکتر) انتخاب شود. اما با توجه به این که مقادیر Q_1 و Q_2 ، نامعین هستند، لازم است قدر مطلق بهره k_2 آنقدر بزرگ انتخاب شود که همواره از برآورده شدن قید اخیر اطمینان داشته باشیم. اما انتخاب بهره بیش از حد بزرگ، فاقد توجه اقتصادی است و ممکن است در عمل باعث به اشباع رفتن کنترلگر شود. لذا، نحوه تنظیم بهره k_2 ، طبق رابطه (۱۶) برای پایداری سیستم در هر نقطه تعادل دلخواه واقع بر چنبره عمومی نقاط تعادل سیستم، مناسب است. این نحوه تنظیم بهره k_2 ، در صورت مثبت بودن X (منفی

که با توجه به رابطه (۲) به ازای $\alpha \in [0, 1]$ همواره $(c-a) = (4\alpha - 11) < 0$ است.

بنابراین، واضح است که در همسایگی نقطه $w = 0$ تابع $V(w, \tilde{g})$ مثبت معین و تابع $\dot{V}(w, \tilde{g})$ منفی معین است. لذا، متغیر حالت کمکی w در سیستم توصیف شده با رابطه (۱۱) بطور مجانبی به مقدار صفر همگرا می شود. پس در سیستم کنترل شده که با رابطه (۶) توصیف می گردد، با استفاده از سیگنالهای کنترل داده شده در روابط (۷) و (۸)، حالت های x و y سیستم هر دو بطور مجانبی به یک مقدار تصادفی مانند Y همگرا می شوند. اکنون به فرض آنکه قانون کنترل داده شده با روابط (۷) و (۸) از لحظه دلخواه $t = t_0$ به سیستم (۶) اعمال شود و چنانچه t_1 به حد کافی بزرگتر از t_0 انتخاب گردد، با توجه به همگرایی مجانبی حالت های x و y سیستم به یک مقدار تصادفی مانند Y ، در حل معادله دیفرانسیلی سوم از رابطه (۶) می توان به جای دو متغیر مذکور مقدار تصادفی Y را جایگزین نمود، در اینصورت برای متغیر حالت z سیستم به رابطه زیر خواهیم رسید.

$$\dot{z}(t) = e^{-dt} z(0) + \frac{Y^2}{d} (1 - e^{-dt}) \quad (14)$$

با توجه به رابطه (۱۴) زمانی که $t \rightarrow \infty$ ، $z(t)$ به $\frac{Y^2}{d}$ همگرا می شود. این موضوع نشان می دهد، سیستم کنترل شده همسان لرنز-لو-چن که رفتار دینامیکی آن با رابطه (۶) بیان می شود، با استفاده از قانون کنترل داده شده در روابط (۷) و (۸) در نقطه تصادفی $\left(x = Y, y = Y, z = \frac{Y^2}{d} \right)$ واقع بر چنبره عمومی نقاط تعادل سیستم بطور مجانبی، پایدار می گردد.

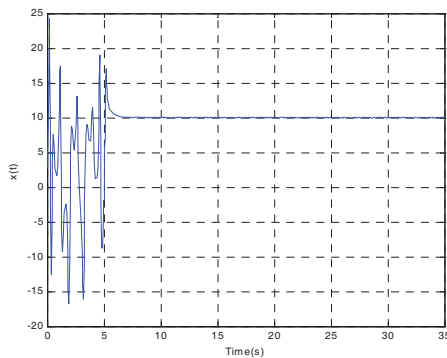
لم ۲: سیستم کنترل شده همسان لرنز-لو-چن، که معالات حالت آن در رابطه (۶) داده شده است را در نظر می گیریم. این سیستم با انتخاب سیگنالهای کنترل u_1 و u_2 بصورت،

$$\begin{cases} u_1 = k_1(X - x) \\ u_2 = z + g + k_2(X - y) \end{cases} \quad (15)$$

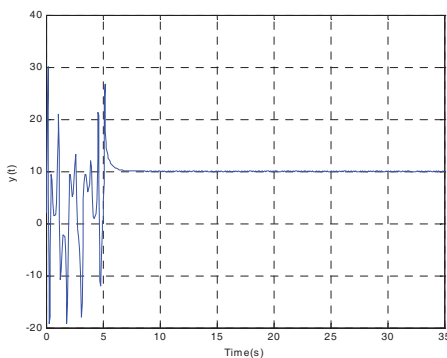
که در آن بهره k_1 یک مقدار دلخواه مثبت است و پارامتر تطبیقی g مطابق با رابطه (۸) و بهره k_2 مطابق با رابطه،

$$\dot{k}_2 = \gamma \text{sign}(X)(X - y)^2, \quad \gamma > 0 \quad (16)$$

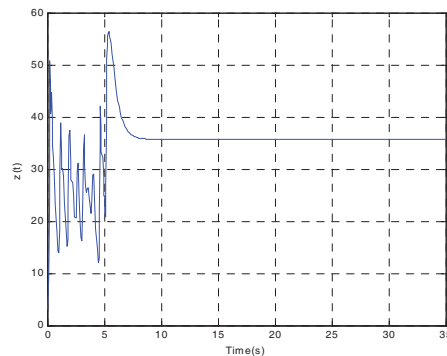
به روز می شود، در نقطه دلخواه $E = \left(x = X, y = X, z = \frac{X^2}{d} \right)$ واقع بر چنبره عمومی نقاط تعادل سیستم، داده شده با رابطه (۴)، بطور مجانبی پایدار می گردد.



شکل (۱) پاسخ زمانی حالت X سیستم



شکل (۲) پاسخ زمانی حالت Y سیستم



شکل (۳) پاسخ زمانی حالت Z سیستم

بودن X منجر به داشتن یک بهره افزایشی (کاهش) تا رسیدن سیستم به حالت تعادل پایدار در نقطه تعادل موردنظر می‌گردد.

بدین ترتیب با در نظر گرفتن ترکیب لم ۱ و لم ۲، روند طراحی کنترلگر تطبیقی با استفاده از فیدبک غیرخطی مشخص می‌گردد. برای کنترل مؤثر سیستم حلقه بسته که رفتار دینامیکی آن با رابطه (۶) توصیف می‌شود، کفایت از قانون کنترل داده شده در رابطه (۱۵) استفاده نمود. در این قانون، بهره k_1 یک مقدار مثبت دلخواه است و بهره تطبیقی k_2 مطابق با رابطه (۱۶) و پارامتر تطبیقی g مطابق با رابطه (۸) به روز می‌گردد.

۵. نتایج شبیه سازی

در این قسمت برای نشان دادن کارایی کنترلگر تطبیقی پیشنهادی، نتایج چند آزمایش عددی ارائه می‌گردد. این شبیه سازیها بگونه ای در نظر گرفته شده که عملکرد کنترلگر در هنگام تغییر نوع سیستم و همچنین مقاوم بودن کنترلگر نسبت به تغییر ناگهانی نقطه تعادل مطلوب، ارزیابی گردد. لازم به ذکر است که در کلیه آزمایشهای انجام شده، مقدار بهره k_1 در قانون کنترل داده شده با رابطه (۱۵) بصورت $k_1 = 20$ و مقدار پارامتر γ در رابطه (۱۶) بصورت $\gamma = 1$ و شرایط اولیه سیستم و مقادیر اولیه پارامترهای تطبیقی در کنترلگر پیشنهادی، یکسان و بصورت زیر در نظر گرفته شده است.

$$x(0) = 3, y(0) = 2, z(0) = 3, g(0) = 0, k_2(0) = 0$$

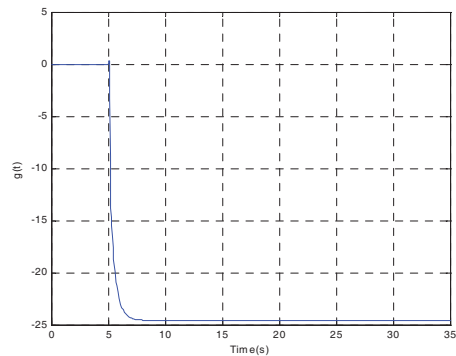
۱.۵. بررسی عملکرد کنترلگر به هنگام تغییر نوع سیستم

در این قسمت، ابتدا کارایی کنترلگر در پایدارسازی سیستم در نقطه تعادل مطلوب بررسی می‌گردد. به این منظور سیستم همسان لرز-لو-چن به ازای $\alpha = 0.4$ که معرف سیستم عمومی لرز خواهد بود، در نظر گرفته می‌شود. فرض می‌گردد، نقطه تعادل مطلوب سیستم نقطه $E = (10, 10, 35.71)$ باشد و کنترلگر در لحظه $t = 5(s)$ وارد عمل شود. پاسخ زمانی متغیرهای حالت سیستم، در شکل‌های (۱) تا (۳)، تغییرات زمانی پارامتر کنترلی g در شکل (۴) و سیگنالهای کنترلی u_1 و u_2 بر ترتیب در شکل‌های (۵) و (۶) نشان داده شده است. همانطور که در این شکلها ملاحظه می‌گردد، پس از اعمال قانون کنترل، حالت‌های سیستم به سرعت به حالت تعادل مطلوب همگرا می‌شوند. پارامتر تطبیقی g نیز مطابق آنچه از تئوری مطرح شده انتظار می‌رود، به مقدار نامی موردنظر یعنی $g_1 = -(b+c)$ همگرا می‌شود.

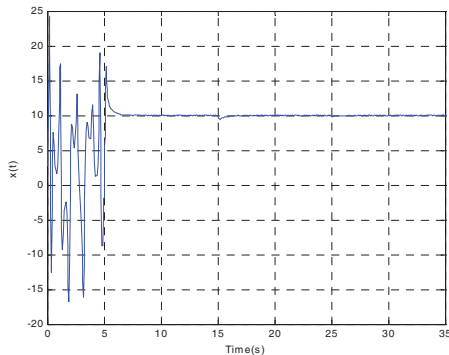
ثابت نگهداشته می‌شود، اما بدلیل تغییر پارامتر α حالت تعادل Z سیستم

مطابق با رابطه $Z = \frac{X^2}{(\alpha + 3)/8}$ تغییر می‌یابد. نتایج مربوط به این آزمایش

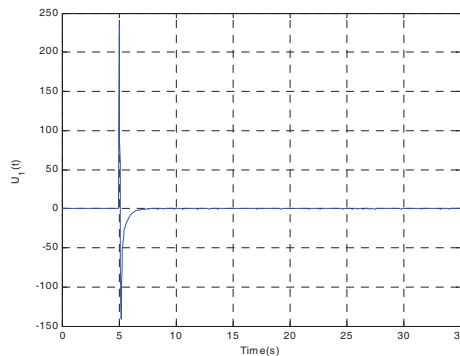
نیز به ترتیب در شکل‌های (۷) تا (۱۲) نشان داده شده‌اند. همانطور که ملاحظه می‌شود، حالت‌های سیستم کنترل شده، با تغییر نوع سیستم همچنان با سرعت خوبی به حالت تعادل مطلوب، همگرا می‌شوند. علاوه بر آن، پارامتر تطبیقی g نیز مانند قبل و طبق انتظار، به مقدار نامی g_1 همگرا می‌شود.



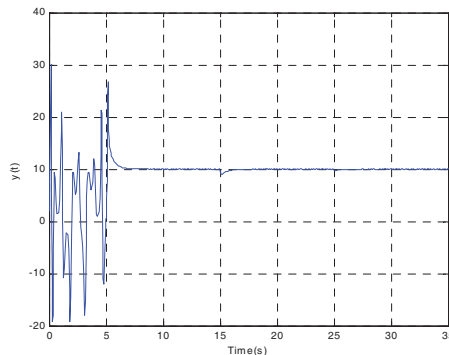
شکل (۴) تغییرات زمانی پارامتر تطبیقی g



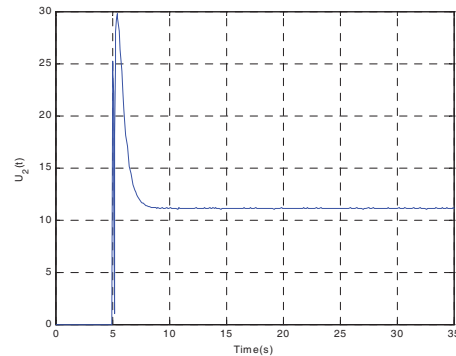
شکل (۷) پاسخ زمانی حالت x سیستم



شکل (۵) سیگنال کنترلی u_1

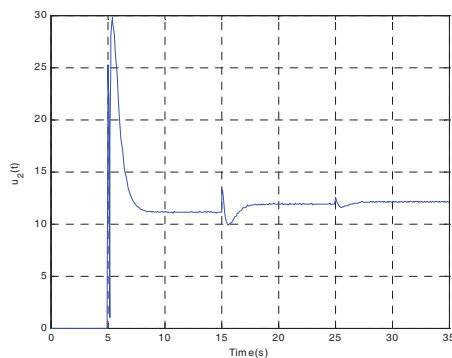


شکل (۸) پاسخ زمانی حالت y سیستم

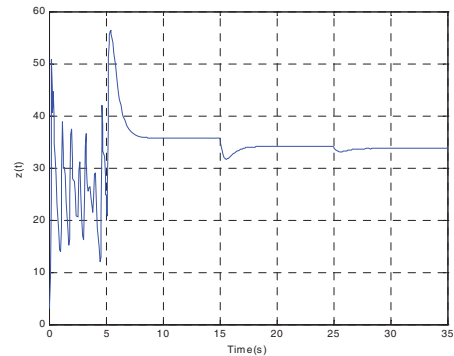


شکل (۶) سیگنال کنترلی u_2

در ادامه این قسمت، تحت همان شرایط فوق، با تغییر پارامتر α از $\alpha = 0.4$ به $\alpha = 0.8$ و سپس به $\alpha = 0.9$ ، بترتیب در لحظه‌های $t_1 = 15(s)$ و $t_2 = 25(s)$ ، نوع سیستم از سیستم عمومی لرنز به سیستم عمومی لو و سپس سیستم عمومی چن تغییر می‌کند. باید توجه داشت که در این حالت اگر چه نقطه تعادل مطلوب تغییر نمی‌کند یا بعبارت دیگر $X = 10$



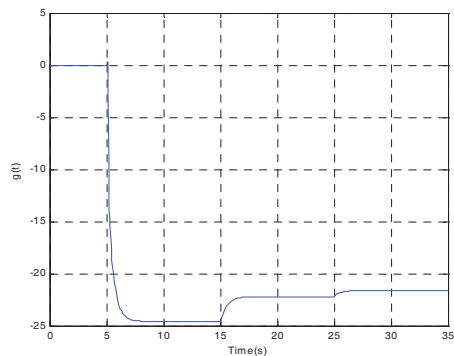
شکل ۱۲) سیگنال کنترلی u_2



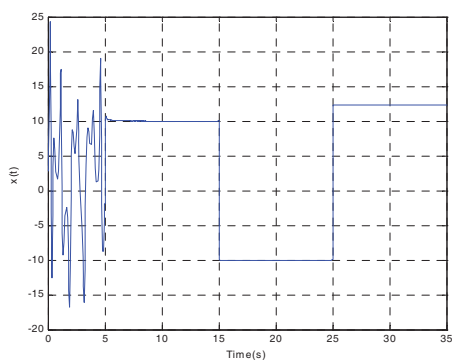
شکل ۹) پاسخ زمانی حالت Z سیستم

۲.۵. بررسی عملکرد کنترلگر با تغییر توأم نوع سیستم و نقطه تعادل

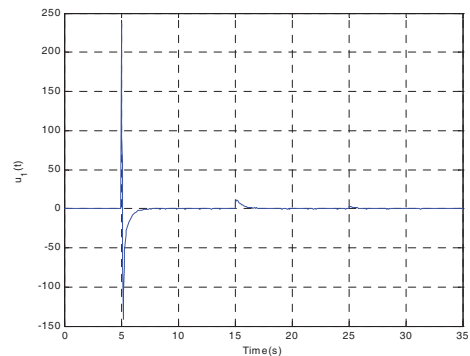
در این مرحله فرض می شود که هم نوع سیستم و هم نقطه تعادل مطلوب تغییر کنند. بدین منظور فرض می شود که پارامتر α در لحظه های $t_1 = 15(s)$ و $t_2 = 25(s)$ به ترتیب از $\alpha = 0.4$ به $\alpha = 0.8$ و سپس $\alpha = 0.9$ تغییر یابد. در اینصورت نوع سیستم نیز به ترتیب از سیستم عمومی لرنز به سیستم عمومی لو و سپس سیستم عمومی چن تغییر می کند. همچنین فرض می شود که در لحظه های مذکور نقطه تعادل مطلوب سیستم نیز به ترتیب از $E = (10, 10, 35.7)$ به $E = (-10, -10, 34.1)$ و سپس $E = (12.3, 12.3, 51)$ تغییر کند. در این مورد نیز مشابه با دو آزمایش قبلی، نتایج شبیه سازی مؤید همگرایی حالت های سیستم به نقطه تعادل مطلوب و همگرایی پارامتر تطبیقی g به مقدار نامی مورد انتظار است. نتایج این آزمایش در شکل های (۱۳) تا (۱۶) نشان داده شده است.



شکل ۱۰) تغییرات زمانی پارامتر تطبیقی g



شکل ۱۳) پاسخ زمانی حالت X سیستم

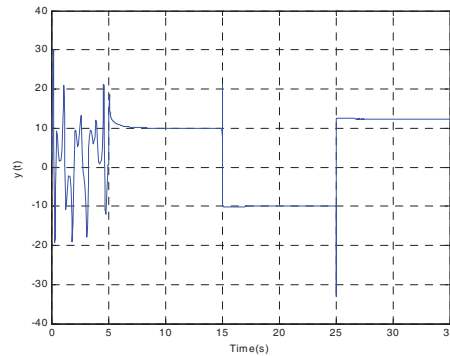


شکل ۱۱) سیگنال کنترلی u_1

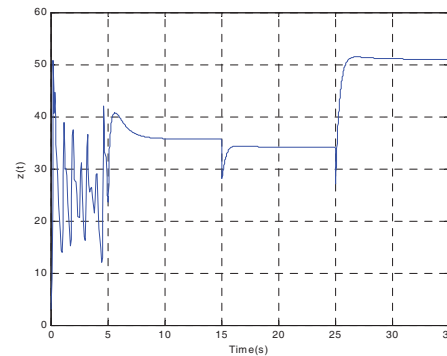
گردید. پس از آن در مرحله نخست، با استفاده از روش مستقیم لیاپانف، یک کنترلگر فیدبک غیرخطی تطبیقی طراحی گردید که قادر بود، سیستم را در یک نقطه تصادفی از منیفول عمومی نقاط تعادل آن بطور مجانبی پایدار سازد. در مرحله بعد، با اضافه شدن سیگنالهای کنترل خطی، با بهره های ثابت و تطبیقی، پایدار سازی مجانبی سیستم در هر نقطه دلخواه واقع بر چنبره عمومی نقاط تعادل آن، حاصل گردید. دو مرحله فوق الذکر در قالب دو لم مطرح و اثبات گردید. در پایان، جهت نشان دادن کارآیی کنترلگر پیشنهادی و مقاوم بودن آن نسبت به تغییر پارامترهای سیستم و نقطه تعادل مطلوب، نتایج چند آزمایش عددی ارائه گردید.

مراجع

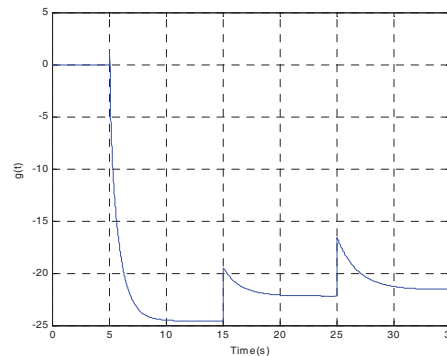
- [1] Nieuwenhuys, B. E., Gluhoi, A. C., Rienks, E. D. L. and Weststrate, C. J., Vinod, C. P., "Chaos, oscillations and the golden future of catalysis," *Catalysis Today*, vol. 100, no. 1-2, pp. 49-54, February 2005.
- [2] Wang, X. and Zhang, J., "Chaotic secure communication based on nonlinear autoregressive filter with changeable parameters," *Physics Letters A*, vol. 357, no. 4-5, pp. 323-329, September 2006.
- [3] Zhang, H., Ma, X., Xue, B. and Liu, W., "Study of intermittent bifurcations and chaos in boost PFC converters by nonlinear discrete models," *Chaos, Solitons and Fractals*, Vol. 23, no. 2, pp. 433-444, January 2005.
- [4] Orel, V. E., Romanov, A. V., Dzyatkovskaya, N. N. and Mel'nik, Yu. I., "The device and algorithm forestimation of the mechanoemission chaos in blood of patients with gastric cancer," *Medical Engineering and Physics*, vol. 24, no. 5, pp. 365-371, June 2002.
- [5] Sprott, J. C., Vano, J. A., Wildenberg, J. C., Anderson, M. B. and Noel, J. K., "Coexistence and chaos in complex ecologies," *Physics Letters A*, vol. 335, no. 2-3, pp. 207-212, 2005.
- [6] Shabunin, A., Astakhov, V., Demidov, V., Provata, A., Baras, F., Nicolis, G., and Anishchenko, V., "Modeling chemical reactions by forced limit-cycle oscillator: synchronization phenomena and transition to chaos," *Chaos, Solitons and Fractals*, vol. 15, no. 2, pp. 395-405, 2003.
- [7] Ott, E., Grebogi, C. and Yorke, J. A., "Controlling Chaos," *Physical Review Letters*, vol. 64, no. 11, pp. 1196-1199, 1990.
- [8] Lu, J. and Wu, X., "A unified chaotic system with continuous periodic switch," *Chaos, Solitons and Fractals*, vol. 20, no. 2, pp. 245-251, April 2004.
- [9] Wu, X., Wang, J., Lu, J. and Iu, H. H. C., "Hyperchaos behavior in a non-autonomous unified



شکل ۱۴ پاسخ زمانی حالت Y سیستم



شکل ۱۵ پاسخ زمانی حالت Z سیستم



شکل ۱۶ تغییرات زمانی پارامتر تطبیقی g

۶. نتیجه گیری

در این مقاله، مسأله کنترل تطبیقی سیستم نامعین همسان لرنز-لو-چن، در نظر گرفته شد. بمنظور کنترل مؤثر سیستم مذکور در هر نقطه دلخواه از چنبره عمومی نقاط تعادل آن، دو وروری کنترلی مناسب برای سیستم انتخاب

- [15] Hwang, C. C., Fung, R. F., Hsie, J. Y. and Li, W. J., "A nonlinear feedback control of the Lorenz equation," *International Journal of Engineering Science*, vol. 37, no. 14, pp. 1893-1900, 1999.
- [16] Richter, H., "Controlling the Lorenz system: combining global and local schemes," *Chaos, Solitons and Fractals*, vol. 12, no. 13, pp. 2375-2380, 2001.
- [17] Lorenz, E. N., "Deterministic non-periods flows," *Journal of atmospheric Science*, vol. 20, pp. 130-141, 1963.
- [18] Chen, G. R. and Ueta, T., "Yet another chaotic attractor," *International Journal of Bifurcation and Chaos*, vol. 9, no. 7, pp. 465-466, 1999.
- [19] Lü, J. and Chen, G. R., "A new chaotic attractor coined," *International Journal of Bifurcation and Chaos*, vol. 12, no. 3, pp. 659-661, 2002.
- [20] Lü, J., Chen, G. R., Cheng, D. and Celikovsky, S., "Bridge the gap between the Lorenz system and the Chen system," *International Journal of Bifurcation and Chaos*, vol. 12, no. 12, pp. 2917-2926, 2002.
- chaotic system with continuous periodic switch," *Chaos, Solitons and Fractals*, vol. 32, no. 4, pp. 1485-1490, May 2007.
- [10] Ge, Z. M. and Yang, K. W., "Chaotic range of a unified chaotic system and its chaos for five periodic switch cases," *Chaos, Solitons and Fractals*, vol. 33, no. 1, pp. 246-269, July 2007.
- [11] Liu, J., Chen, S. and Xie, J. "Parameter identification and control of uncertain unified chaotic system via adaptive extending equilibrium manifold," *Chaos, Solitons and Fractals*, vol. 19, no. 3, pp. 533-540, February 2004.
- [12] Chen, B., Liu, X. and Tong, S., "Adaptive fuzzy approach to control unified chaotic system," *Chaos, Solitons and Fractals*, vol. 34, no. 5, pp. 1180-1187, 2007.
- [13] Lu, J., Huang, B. and Wu, X., "Control of a unified chaotic system with delayed continuous periodic switch," *Chaos, Solitons and Fractals*, vol. 22, no. 1, pp. 229-236, October 2004.
- [14] Hua, C. and Guan, X., "Adaptive chaos control for chaotic systems," *Chaos, Solitons and Fractals*, vol. 22, no. 1, pp. 55-60, October 2004.